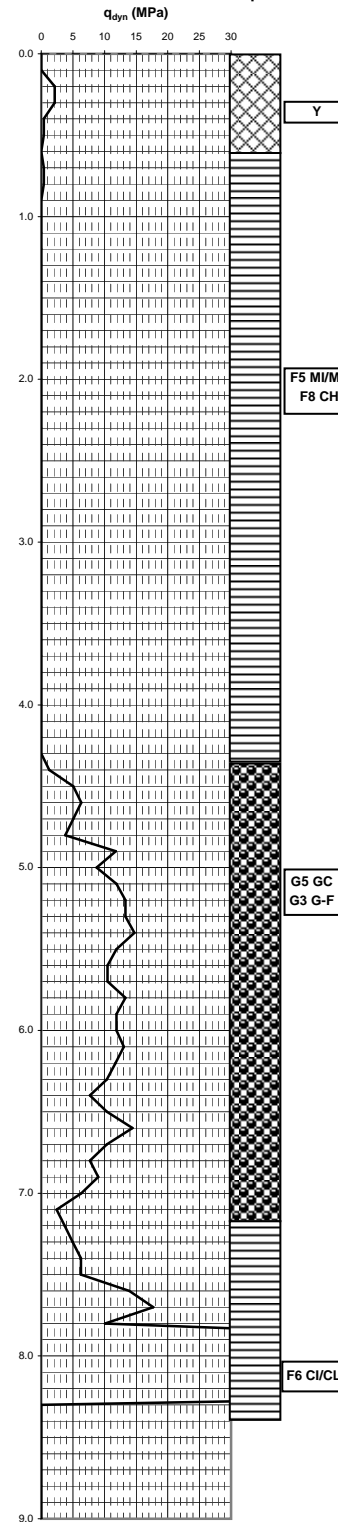
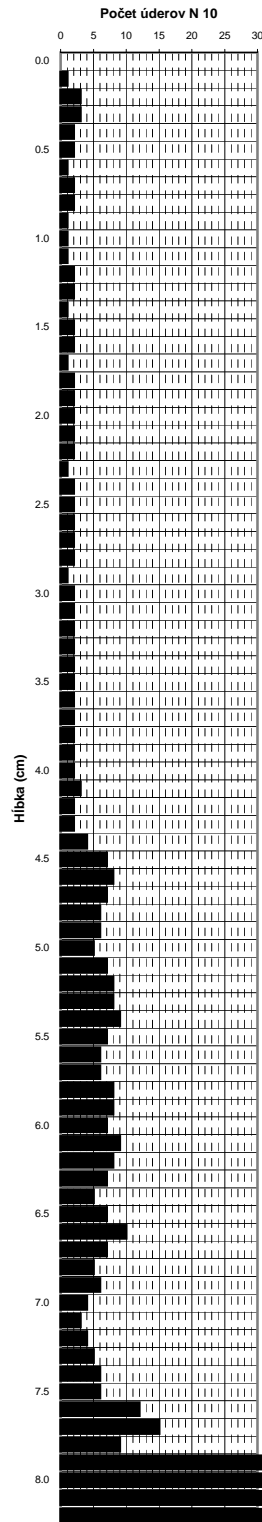


Záznam dynamickej penetračnej skúšky

Názov zakázky: Oceliarne Strážske	
Odberateľ: PROMT s.r.o. Robotnícka 1A, Martin 036 01	
Sonda číslo: DP-7	
Dátum skúšky: 21/06/2007	
Operátori: Tomeček, Pétery	
Vyhodnotil: Mgr. Juraj Soták	
Typ penetračnej súpravy: GEOTOOL GTR 780	
Tiaž baranidla Q (kN): 0,63kN	$N_{10red} = N_{10} - 0,025$ Mv Oprava na Mv
Výška pádu baranidla h (m): 0,75m	$N_{10}' = 1,2 \times N_{10red} + 4,5$ Oprava na h.p.v.
Priečna plocha hrotu A (m ²): 0,0015m ²	$q_{dyn} = Q^2/h \cdot A \cdot s \cdot (Q+q)$
Vrcholový uhol hrotu: 90°	Hĺbka hladiny podz. vody - 4.9m p.t.
Tiaž jednej tyče: 0,063kN	q tiaž súčtia, kovadliny a hrotu v hĺbke, v kN
Tiaž hrotu: 0,0032kN	s - zarazenie hrotu 1 úderom
Frekvencia úderov baranidla: 15/min	Tiaž kovadliny: 0,04kN

Hĺbka v cm	10	20	30	40	50	60	70	80	90	100
N ₁₀	1	3	3	2	2	1	2	2	1	1
M ₁₀ (N.m)	70	70	70	70	70	70	70	70	70	70
N _{10red}	-0.8	1.3	1.3	0.3	0.3	-0.8	0.3	0.3	-0.8	-0.8
N _{10'}	-0.8	1.3	1.3	0.3	0.3	-0.8	0.3	0.3	-0.8	-0.8
q _{dyn} (MPa)	0.0	2.1	2.1	0.4	0.4	0.0	0.4	0.4	0.0	0.0
Ufahnutosť	-	-	-	-	-	-	-	-	-	-
E _{def} (MPa)	0.0	10.6	10.6	2.1	2.1	0.0	2.1	2.1	0.0	0.0
Hĺbka v cm	110	120	130	140	150	160	170	180	190	200
N ₁₀	1	2	2	1	2	2	1	2	2	2
M ₁₀ (N.m)	89	89	89	89	89	89	89	89	89	89
N _{10red}	-1.2	-0.2	-0.2	-1.2	-0.2	-0.2	-1.2	-0.2	-0.2	-0.2
N _{10'}	-1.2	-0.2	-0.2	-1.2	-0.2	-0.2	-1.2	-0.2	-0.2	-0.2
q _{dyn} (MPa)	0.0	0.0	0.0	0.0	0.0	0.0	0.0	0.0	0.0	0.0
Ufahnutosť	-	-	-	-	-	-	-	-	-	-
E _{def} (MPa)	0.0	0.0	0.0	0.0	0.0	0.0	0.0	0.0	0.0	0.0
Hĺbka v cm	210	220	230	240	250	260	270	280	290	300
N ₁₀	2	2	1	2	2	2	2	2	1	2
M ₁₀ (N.m)	88	88	88	88	88	88	88	88	88	88
N _{10red}	-0.2	-0.2	-0.2	-0.2	-0.2	-0.2	-0.2	-0.2	-1.2	-0.2
N _{10'}	-0.2	-0.2	-1.2	-0.2	-0.2	-0.2	-0.2	-0.2	-1.2	-0.2
q _{dyn} (MPa)	0.0	0.0	0.0	0.0	0.0	0.0	0.0	0.0	0.0	0.0
Ufahnutosť	-	-	-	-	-	-	-	-	-	-
E _{def} (MPa)	0.0	0.0	0.0	0.0	0.0	0.0	0.0	0.0	0.0	0.0
Hĺbka v cm	310	320	330	340	350	360	370	380	390	400
N ₁₀	2	2	2	2	2	2	2	2	2	2
M ₁₀ (N.m)	113	113	113	113	113	113	113	113	113	113
N _{10red}	-0.8	-0.8	-0.8	-0.8	-0.8	-0.8	-0.8	-0.8	-0.8	-0.8
N _{10'}	-0.8	-0.8	-0.8	-0.8	-0.8	-0.8	-0.8	-0.8	-0.8	-0.8
q _{dyn} (MPa)	0.0	0.0	0.0	0.0	0.0	0.0	0.0	0.0	0.0	0.0
Ufahnutosť	-	-	-	-	-	-	-	-	-	-
E _{def} (MPa)	0.0	0.0	0.0	0.0	0.0	0.0	0.0	0.0	0.0	0.0
Hĺbka v cm	410	420	430	440	450	460	470	480	490	500
N ₁₀	3	2	2	4	7	8	7	6	7	5
M ₁₀ (N.m)	120	120	120	120	120	120	120	120	120	120
N _{10red}	0.0	-1.0	-1.0	1.0	4.0	5.0	4.0	3.0	4.0	2.0
N _{10'}	0.0	-1.0	-1.0	1.0	4.0	5.0	4.0	3.0	9.3	6.9
q _{dyn} (MPa)	0.0	0.0	0.0	1.3	5.1	6.3	5.1	3.8	11.8	8.7
Ufahnutosť	-	-	-	-	K	K	K	K	K	SU
E _{def} (MPa)	0.0	0.0	0.0	10.4	23.8	27.2	23.8	20.0	39.5	33.0
Hĺbka v cm	510	520	530	540	550	560	570	580	590	600
N ₁₀	7	8	8	9	7	6	6	8	7	7
M ₁₀ (N.m)	97	97	97	97	97	97	97	97	97	97
N _{10red}	4.6	5.6	5.6	6.6	4.6	3.6	3.6	5.6	4.6	4.6
N _{10'}	10.0	11.2	11.2	12.4	10.0	8.8	8.8	11.2	10.0	10.0
q _{dyn} (MPa)	11.9	13.3	13.3	14.7	11.9	10.5	10.5	13.3	11.9	11.9
Ufahnutosť	SU	SU	SU	SU	SU	SU	SU	SU	SU	SU
E _{def} (MPa)	39.7	42.5	42.5	45.2	39.7	36.8	36.8	42.5	39.7	39.7
Hĺbka v cm	610	620	630	640	650	660	670	680	690	700
N ₁₀	9	8	7	5	7	10	7	5	6	4
M ₁₀ (N.m)	122	122	122	122	122	122	122	122	122	122
N _{10red}	6.0	5.0	4.0	2.0	4.0	7.0	4.0	2.0	3.0	1.0
N _{10'}	11.6	10.4	9.2	6.8	9.2	12.8	9.2	6.8	8.0	5.6
q _{dyn} (MPa)	13.1	11.7	10.4	7.7	10.4	14.4	10.4	7.7	9.0	6.3
Ufahnutosť	SU	SU	SU	K	SU	SU	SU	K	SU	K
E _{def} (MPa)	42.1	39.4	36.6	30.6	36.6	44.6	36.6	30.6	33.7	27.2
Hĺbka v cm	710	720	730	740	750	760	770	780	790	800
N ₁₀	3	4	5	6	6	12	15	9	62	114
M ₁₀ (N.m)	220	220	220	220	220	220	220	220	220	220
N _{10red}	-1.8	-0.8	0.2	1.2	1.2	7.2	10.2	4.2	57.2	109.2
N _{10'}	2.3	3.5	4.7	5.9	5.9	13.1	16.7	9.5	73.1	135.5
q _{dyn} (MPa)	2.4	3.7	5.0	6.3	6.3	13.9	17.7	10.1	77.6	143.9
Ufahnutosť	K	K	K	K	K	-	-	-	-	-
E _{def} (MPa)	15.3	19.8	23.6	27.0	27.0	-	-	-	-	-
Hĺbka v cm	810	820	830	840	850	860	870	880	890	900
N ₁₀	123	117								
M ₁₀ (N.m)	220	220								
N _{10red}	118.2	112.2								
N _{10'}	146.3	139.1								
q _{dyn} (MPa)	149.6	142.3								
Ufahnutosť	-	-								
E _{def} (MPa)	-	-								



Geologická interpretácia

Y

F5 M/ML
F8 CH

G5 GC
G3 G-F

F6 CI/CL